SESSION 2002

ETUDE D'UNE CONSTRUCTION

SOUS-EPREUVE U4.1

ELABORATION D'UNE NOTICE DE CALCUL

STABULATION LIBRE

DOSSIER RESSOURCE

Document ressource DR1 : Charges de neige

Document ressource DR2 : Modèles d'étude

Document ressource DR3 : Calcul en flexion déviée

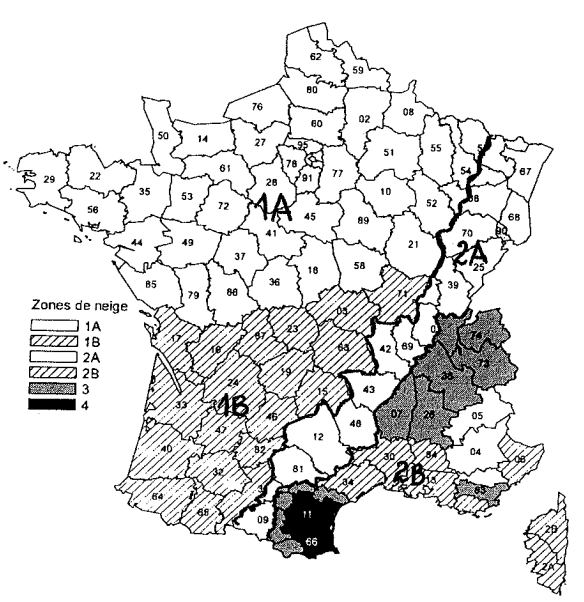
Document ressource DR4 : Contraintes admissibles du lamellé collé

Document ressource DR5 : Extrait CB71 : compression transversale

Document ressource DR6 : Assemblages boulonnés

Document ressource DR7 et DR8 : Assembleurs par anneaux

* CHARGES DE NEIGE **



	Zones							
	1A	18	2A	2B	3	4		
« Surcharge normale » p _{no} (daN/m²)	35	35	45	45	55	80		
« Surcharge extrême » p'no (daN/m²)	60	60	75	75	90	130		

2,2 ALTITUDE

Au-delà de 200 m d'altitude et quelle que soit la région considérée, la loi de variation des surcharges en fonction de $\rho_{\rm ne}$ ou de $\rho'_{\rm ne}$ (R-II-2,1) et de l'altitude A est donnée par le tableau II.

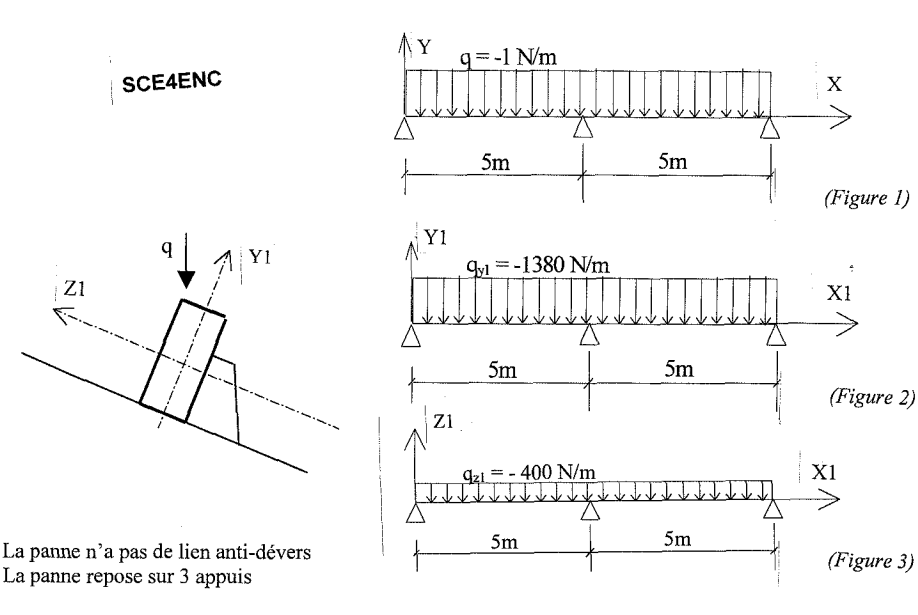
TABLEAU II

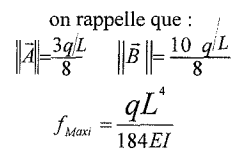
p.	p'.
$ ho_{no} + rac{A-200}{10} daN/m^2$	$p'_{no} + \frac{(A-200)}{6} daN/m^2$
$p_{no} + 30 + \frac{A-500}{4} daN/m^2$	$p'_{no} + 50 + \frac{(A-500)}{2,4} daN/m^2$
$p_{\text{no}} + 280 + \frac{\text{A-1 500}}{2,5} \text{daN/m}^2$	$p'_{10} + 467 + \frac{(A-1500)}{1.5} daN/m^2$
	$p_{no} + \frac{A-200}{10} daN/m^2$

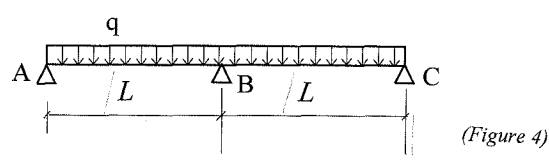
PENTE DES VERSANTS

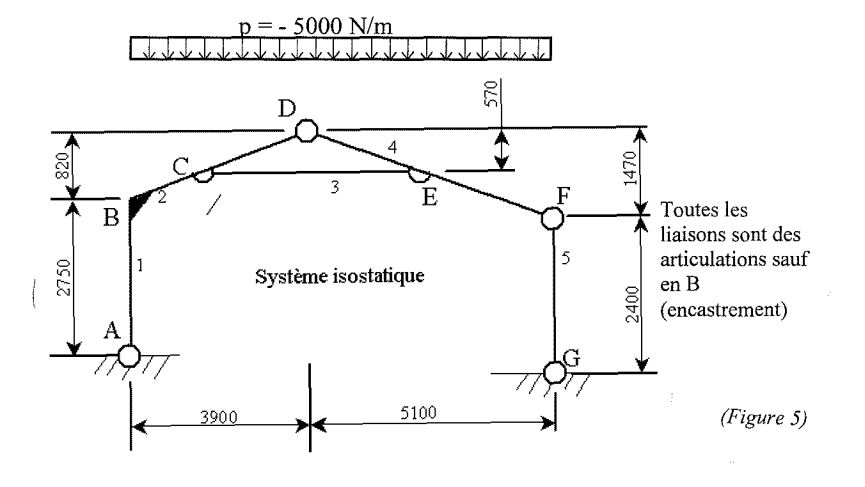
Les surcharges de neige par mêtre carré de projection horizontale restent égales aux valeurs fixées en R-II-2,1 et R-II-2,2 quand l'inclinaison de la surface du toit sur l'horizontale ne dépasse pas 25°.

Ces surcharges sont réduites de 2 % par degré d'inclinaison supplémentaire sur toute partie de couverture dont l'inclinaison dépasse 25°, lorsque rien ne s'oppose au glissement de la neige sur le versant considéré.



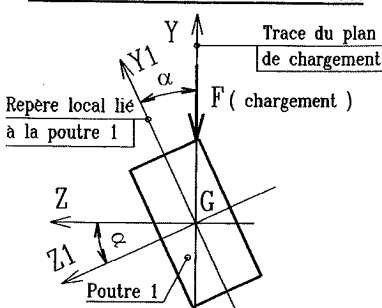






487

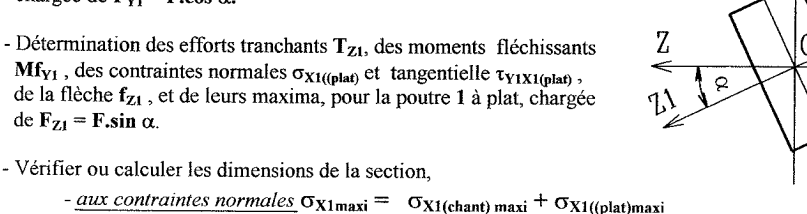
-1- Hypothèses de flexion déviée.



- Le chargement est modélisé dans le plan (GX, GY) passant par l'axe moyen de la poutre 1.
 - Le repère global (GX, GY, GZ) est lié au référentiel fixe (le sol par exemple).
- Le repère local (GX₁, GY₁, GZ₁) est lié à la poutre 1
- Poutre 1 de section rectangulaire, de base b et de hauteur h.

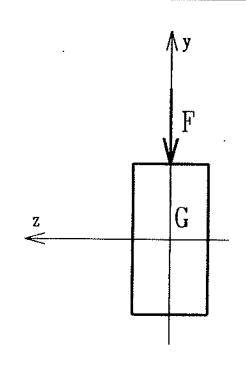
-2- Première méthode de calcul (principe de superposition).

- Détermination des efforts tranchants Ty1, des moments fléchissants Mf_{Z1} , des contraintes normales $\sigma_{x1(chant)}$ et tangentielle $\tau_{Y1X1(chant)1}$ de la flèche f_{Y1}, et de leurs maxima, pour la poutre 1 sur chant, chargée de $F_{V1} = F.\cos \alpha$.
- Détermination des efforts tranchants Tz1, des moments fléchissants Mf_{Y1} , des contraintes normales $\sigma_{X1((plat))}$ et tangentielle $\tau_{Y1X1(plat)}$, de la flèche f_{Z1} , et de leurs maxima, pour la poutre 1 à plat, chargée de $F_{Z1} = F.\sin \alpha$.



- aux contraintes tangentielles
$$\tau_{X1 maxi} = \sqrt{\tau^2 \gamma_{1X1(chant) maxi} + \tau^2 \gamma_{1X1(plat) maxi}}$$
- aux déformations $f_{maxi} = \sqrt{f_{1maxi}^2 + f_{2maxi}^2}$

-3- Deuxième méthode de calcul (à partir d'une étude en flexion simple).



- Le modèle d'étude de base, est la poutre 1 placée à plat et chargée dans le plan (Gx, Gy) par F.
- Déterminer pour ce modèle, en flexion simple, les efforts tranchants Ty, les moments fléchissants Mfz, les contraintes normales σ, et tangentielles τ_{vx} , la flèche f et leurs maxima.
- Vérification aux contraintes normales,

 $\sigma_{X1\text{max}i} = \sigma_{x\text{max}i} ((\cos \alpha + (h / b).\sin \alpha)).$

- Vérification aux contraintes tangentielles,

 $\tau_{X1maxi} = (3.Ty_{maxi}) / (2.S).$

Vérification aux déformations,

$$f_{\text{maxi}} = fy_{\text{maxi}} \sqrt{\cos^2 \alpha + (h^4/b^4) \cdot \sin^2 \alpha}$$

DOCUMENT RESSOURCE DR4

CONTRAINTES ADMISSIBLES ET PROPRIETES ASSOCIEES BOIS LAMELLE COLLE à 12 % en MPa (*), KN/mm²(**) et Kg/m³ (***)

Classe de résistance du Bois Lamellé		GL 22 c	GL 24 c	GL 26 c combiné	GL 28	GL 30 c
Collé		comorne	сощыне	comoine	comoine	compine
	NOT. CB 71					
Résistance en flexion	-a1	9,70	10,60	11,40		13,20
Traction axiale	G	6,10	6,80	7,30		8,10
Traction transversale	σ,	0,15	0,15	0,20		0,20
Compression axiale	σ,	9,45	10,33	10,77		11,65
Compression transversale	σ',	2,11	2,24	2,33		2,51
Cissillement	τ	0,80	0,90	1,10		1,15
Module moyen d'élasticité axiale **	Er	9,90	10,80	11,79		12,50
Module moyen de cisaillement	E G	0,62	0,67	0,73		0,78
Masse volumique moyenne***		390	395	430		440

Classe de résista	nce du	GL 22 h	GL 24 h	GL 26 h	GL 28 h	GL 30 h	
Bois Lamellé (Collé	homogène	homogène	homogène	homogène	homogène	
	NOT. CB 71						
Résistance en flexion	, 5 (9,70	10,60	11,40	12,30	13,20	
Traction axiale	o	6,80	7,50	8,00	8,60	9,20	
Traction transversale	σ.	0,15	0,15	0,20	0,20	0,20	
Compression axiale	σ,	10,40	11,40	11,90	12,30	12,80	
Compression transversale	α.,	2,10	2,20	2,30	2,40	2,50	
Cisaillement	τ	0,90	1,10	1,15	1,30	1,35	
Module moyen d'élasticité axiale **	E _F	9,90	10,80	11,70	12,60	12,60	
Module moyen de cisaillement	E G	0,62	0,68	0,73	0,79	0,79	
Masse volumique moyenne ***		380	410	420	450	460	

^(*) Les règles CB 71 prévoient une humidité de base de 15 % pour les valeurs de contraintes. Il est convenu d'utiliser directement celles à 12 % (prEN 1194) comme contraintes de base et sans correction.

3,24 COMPRESSION TRANSVERSALE (OU DE FLANC) ET COMPRESSION OBLIQUE

3,24-1 Contrainte admissible en compression transversale (ou de flanc)

Il convient de ne pas employer sous compression transversale des pièces de bois ou des zones de pièces de bois de qualité inférieure à la catégorie II. La contrainte admissible est déterminée après essais dans les conditions précisées en annexe.

A défaut d'essais préalables, on adopte les valeurs fixées par le tableau 3 (R-III-3,12) (et par le tableau 22 (R-IV-4,92) dans le cas d'application de la méthode de calculs simplifiée) pour le chêne et l'ensemble des résineux courants. Pour les autres essences, on peut adopter les mêmes valeurs pour des bois de même densité que les chênes et résineux courants ou se référer à des valeurs provenant d'un organisme qualifié (par exemple du Jaboratoire du Centre Technique Forestier Tropical).

3,24-2 Compression transversale localisée (voir fig. R-III-1)

Dans le cas de la compression transversale localisée, on admet un coefficient de majoration de la contrainte admissible égal à 2 lorsque simultanément :

1° dans le sens longitudinal la pièce sollicitée déborde de part et d'autre de la zone

directement comprimée d'une longueur a au moins égale à une fois et demie la hauteur b de la pièce sollicitée ($a \ge 1.5 b$);

 2° la longueur l de la zone d'appui est au plus égale à la hauteur h de la pièce sollicitée $(l \leq h)$.

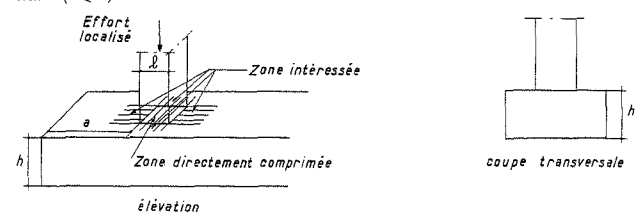


Fig. R-III-1. - Compression transversale localisée.

Si ces conditions ne sont pas réalisées, la contrainte admissible est affectée d'un coefficient de majoration dont les valeurs sont données par le tableau suivant :

	TABLEAU /									
1/h a/h	≥ 1,5	1	0,5	0						
1 2- ≥ 3	2 1,5 1	1,5 1,25 1	1,25 1,12 1	1 1						

ASSEMBLAGES BOULONNES

-1- Diamètres normalisés des boulons utilisés en charpente.

12 mm, 14 mm, 16 mm, 18 mm, 20 mm, 22 mm, 24 mm et 27 mm

- -2- Assemblages boulonnés de pièces en bois (liaison pivot, sans reprise de moment).
- 2.1. Modes de sollicitations, diamètre des boulons d et effort de base f repris par boulon.

Unités: e en cm d en cm et f en DaN

Modes de sollicitations	Diamètre	Effort pour	Effort pour	Commentaires
·	des boulons	les résineux	les feuillus	
Simple cisaillement	e ≤ 5.d	f = 80.d.Ve	f = 105.d.Ve	e = épaisseur la plus faible
Double cisaillement	e ≤ 5.d	$f = 200.d.Ve_m$	$f = 260.d.Ve_m$	e = épaisseur la plus faible e _m = épaisseur de la pièce entre moise
Cisaillement multiple	e ≤ 5.d	f = 160.d.Ve	f = 210.d.Ve	e = épaisseur de la pièce intérieure la plus mince.

- 2.2. Valeur de l'effort admissible par boulon: coefficients réducteurs dus:

- au nombre n de boulons alignés suivant le support de l'effort:

- n ≤ 4

 $K_n = 1$

 $-4 < n \le 8$

 $K_n = 0.9$

-8 < n

 $K_n = 0.8$

- à l'inclinaison a de l'effort par rapport aux fibres:

 $-0 < a \le 30^{\circ}$

 $K_a = 1$

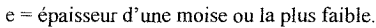
- 30° < a $\leq 60^{\circ}$

 $K_a = 0.9$

 $-60^{\circ} < a \le 90^{\circ}$

 $K_a = 0.8$

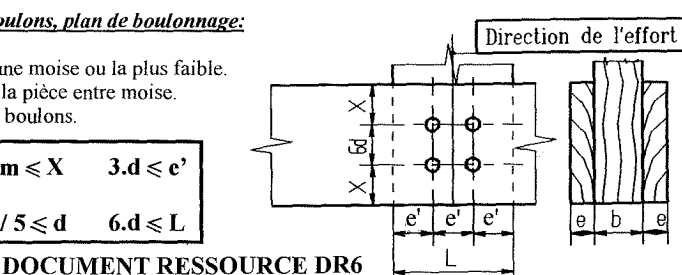
- 2.3. Répartition des boulons, plan de boulonnage:



b = épaisseur de la pièce entre moise.

d = diamètre des boulons

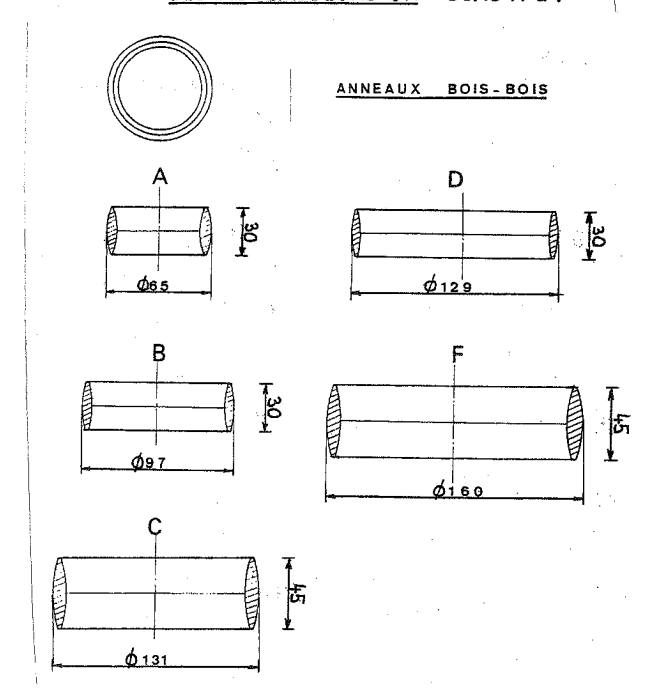
6.d ou $100 \text{ mm} \leq X$ 3.d ≤ e' b / 2 ≤ e $e/5 \le d$ $6.d \leq L$



0-0-0-0

 $F_{adm.} = K_a. K_n. f$

LES ASSEMBLEURS UR : Série A à F



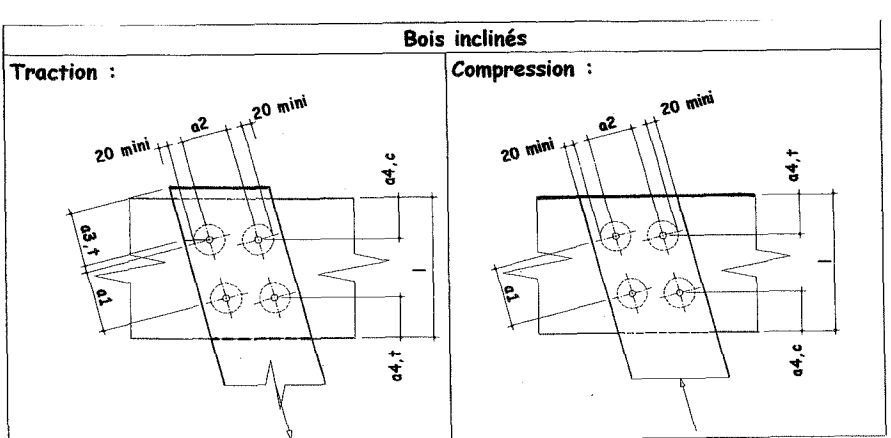
valeurs admissibles Anneaux UR série A à F

	ANNEA	NNEAU BOULON		BOIS : épaisseur Valeur			Classe de Résistance C24 Valeurs admissibles en kN			Classe de Résistance C30 Valeurs admissibles en kN														
		,				minima	le en mm	de		γ	Υ													
TYPE	d _e (mm)	h _e (mm)	Φ (mm) boulon	Φ (mm) rondelle	Ëp. (mm) rondelle	intérieur	extérieur	a _c (mm)	0 ≤ α ≤ 30	30 < α ≤ 60	60 < α ≤ 90	0 ≤ α ≤ 30	30 < α ≤ 60	60 < α ≤ 9										
A	65	30	12 ou 14	40	4	75	45	98	7.00	5.92	5.13	8,00	6.77	5.86										
					İ			130	9.00	7.61	6.59	10.00	8,46	7.33										
								140	10.00	8.46	7.33	11.00	9.30	8.06										
								163	11.00	9,30	8.06	12.00	10.15	8.79										
В	97	30	20	50	5	75	75	45	146	12.00	10.01	8.59	13.00	10,850	9,31									
								1 1										194	15.5	12.93	11.10	16,50	13,77	11.81
							- !	220	17.00	14.18	12.17	18,50	15,44	13.24										
								243	18.50	15.44	13.24	20.00	16.69	14.32										
С	131	45	22	60	6	112	67	197	19.00	15.63	13.28	20.50	16,87	14.33										
								262	24.50	20.16	17.12	26.50	21.80	18.52										
								300	27.50	22.62	19.22	30.00	24,68	20.96										
								328	30.00	24.68	20.96	32,50	26,74	22,71										
D	129	30	22	60	6	75	45	194	17.00	14.00	11.90	18,50	15.23	12.95										
								250	21.50	17.70	15.05	23.50	19.35	16.45										
								258	22.00	18.11	15,40	24.00	19.76	16.79										
								323	27.00	22.23	18.89	29.00	23.88	20.29										
F	160	45	24	70	7	112	67	240	24.50	19.92	16.78	26.50	21.54	18.15										
								320	32,00	26.02	21.92	34.50	28.05	23.63										
								340	33,50	27.24	22.95	36.50	29.67	25.00										
								400	38.50	31,30	26.37	42.00	34.15	28 77										

Remarques :

- ⇒ Les valeurs admissibles fournies dans ce tableau sont utilisées pour une vérification au 1° genre (CB 71) ;
- Pour le calcul au second genre des règles CB 71, la limite élastique est obtenue avec un coefficient multiplicatif de 1.75 ;
- ⇒ La contribution du boulon ne doit en aucun cas être ajoutée à celle de l'anneau.

Répartition des anneaux



	1	
Paramètres	Valeurs minimales	Notations
d _c	Voir tirage	Diamètre de l'anneau
a_1	2 × d _c	Distance entre assembleurs // au fil du bois
a ₂	$1.5 \times d_c$	Distance entre rangées d'assembleurs // au fil du bois
a _{3,t} et a _{3,c}	1.5 × d _c	$a_{3,t}$: distance entre un assembleur et l'extrémité d'une pièce chargée; $a_{3,c}$: distance entre un assembleur et l'extrémité d'une pièce non chargée.
a _{4,t} et a _{4,c}	$ \begin{aligned} & \text{Pour } & 0 \leq \alpha \leq 30 & : \max \left(0.8 d_{\scriptscriptstyle c}, \frac{l}{4}\right) \\ & \text{Pour } & 30 < \alpha \leq 90 : \max \left(0.8 d_{\scriptscriptstyle c}, \frac{l}{3}\right) \end{aligned} $	a4,; distance entre un assembleur et la rive d'une pièce chargée; a4,c; distance entre un assembleur et la rive d'une pièce non chargée; l : largeur de la pièce ayant une
		de ses rives chargée ; α : angle entre l'effort et le fil du bois.